

## ФОТОИНДУЦИРОВАННЫЙ ФАЗОВЫЙ ПЕРЕХОД В СИСТЕМЕ С ПЕРЕСТРАИВАЕМЫМ ЭЛЕКТРОННЫМ СПЕКТРОМ

А. Л. Семенов\*

Ульяновский филиал Московского государственного университета им. М. В. Ломоносова  
432700, Ульяновск, Россия

Поступила в редакцию 17 ноября 1996 г.

Построена теория фотоиндуцированного фазового перехода и безрезонаторной оптической бистабильности электронного типа в световом поле с конечной шириной оптического спектра. На основе уравнения Лиувилля для матрицы плотности в дипольном приближении получены критерии существования и рассчитаны основные характеристики данных явлений. Показано, что уширение оптического спектра ухудшает возможность наблюдения критических особенностей (критерий существования становится более жестким, а размеры петли гистерезиса уменьшаются). Проведено сравнение с экспериментом для CdS и аморфного GeS<sub>2</sub>.

### 1. ВВЕДЕНИЕ

Фотоиндуцированный фазовый переход в системе с перестраиваемым электронным спектром представляет собой скачкообразные изменения ширины запрещенной зоны электронного спектра и концентрации электронов в зоне проводимости полупроводника, когда интенсивность падающего излучения достигает критического значения. При этом скачкообразно меняются оптические свойства вещества. В окрестности фазового перехода в системе наблюдается безрезонаторная оптическая бистабильность при нарастающем поглощении [1].

Резкое изменение свойств электрон-фононной системы твердого тела, как известно, может быть вызвано варьированием таких параметров как давление [2], температура [2, 3], концентрация легирующей примеси [4–6], концентрация адсорбированных на поверхности молекул и т. д. [7]. Все эти фазовые переходы происходят между термодинамически равновесными состояниями, в то время как принципиальной особенностью фотоиндуцированного фазового перехода является его существенная неравновесность.

Механизмы, вызывающие перестройку электронного спектра в световом поле, могут быть самыми различными: экситон-экситонное взаимодействие и экранировка электрон-дырочной плазмой в CdS [8–10], взаимодействие электронов со статической фононной модой на краю зоны Бриллюэна в VO<sub>2</sub> [2, 11, 12], взаимодействие электронов с дефектами в аморфном GeS<sub>2</sub> [13] и др. [1].

Однако несмотря на такое разнообразие механизмов фотоиндуцированный фазовый переход в данных материалах имеет общие черты. В частности, экспериментально установлено, что частота падающего излучения, вызывающего фазовый переход, ограничена сверху [8, 12, 13]. Например, в CdS и GeS<sub>2</sub> она должна быть меньше частоты

\*semenov@quant.univ.simbirsk.su

нижнего края оптического перехода по крайней мере на фиксированную (свою для каждого материала) величину [8, 13]. Снизу же частота света ограничена из-за эффекта насыщения оптических межзонных переходов. Таким образом, фотоиндуцированный фазовый переход и безрезонаторная оптическая бистабильность электронного типа имеют селективный характер [12].

В настоящей работе предлагается модель фотоиндуцированного фазового перехода и безрезонаторной оптической бистабильности, основанная на том факте, что электронный спектр системы зависит от концентрации электронов в зоне проводимости. При облучении квазимонохроматическим световым полем, несущая частота которого несколько меньше частоты нижнего края оптического перехода, в такой системе возникает положительная обратная связь. Первоначально нерезонансное световое поле вызывает за счет размытия нижнего края оптического перехода небольшое количество оптических переходов электронов в зону проводимости и, как следствие, незначительное уменьшение ширины запрещенной зоны. В результате электрон-фотонное взаимодействие становится более резонансным и, следовательно, более интенсивным, что в свою очередь ведет к дальнейшему уменьшению ширины запрещенной зоны. Положительная обратная связь снижает устойчивость системы. В случае же, когда она становится достаточно сильной, устойчивость теряется и происходит скачкообразный переход в новое состояние равновесия (фазовый переход).

Явления фотоиндуцированного фазового перехода и безрезонаторной оптической бистабильности, основанные на быстром возрастании эффективности взаимодействия подзонного светового поля с двухуровневой системой при уменьшении частоты межуровневого перехода, были рассмотрены в [14]. Предполагалось, что электронный спектр имеет резкую границу нижнего края оптического перехода, а перекрытие спектров электронной подсистемы и светового поля обусловлено конечной шириной последнего. В настоящей работе определяющим является размытие границы нижнего края оптического перехода электронной подсистемы, а ширина оптического спектра падающего излучения может быть бесконечно малой. Конечность же этой величины, как будет показано ниже, приводит к более жестким (по сравнению со случаем, когда ширина спектра падающего излучения  $\Delta\omega = 0$ ) условиям существования фотоиндуцированного фазового перехода и безрезонаторной оптической бистабильности, накладывающим ограничения на параметры электронной системы и несущую частоту светового поля.

## 2. ОСНОВНЫЕ УРАВНЕНИЯ

Взаимодействие электронной подсистемы со световым полем будем описывать с помощью уравнения Лиувилля [15]

$$i\hbar \frac{\partial \rho}{\partial t} = [H + V, \rho], \quad (1)$$

где  $\rho$  — матрица плотности электронов в среде,  $H$  — гамильтониан электронной системы в отсутствие облучения,  $V$  — оператор возмущения, который в дипольном приближении имеет вид

$$V = -\mathbf{dE}(t) = -\mathbf{d} \int \mathbf{E}_\omega e^{-i\omega t} d\omega. \quad (2)$$

Здесь  $\mathbf{d}$  — оператор дипольного момента;  $E_\omega$  и  $\omega$  — соответственно амплитуда и частота спектральной компоненты светового поля.

Рассмотрим случай, когда падающее излучение  $E(t)$  является линейно поляризованным, квазимонохроматическим, стационарным случайным полем [16]. Тогда все спектральные компоненты  $E_\omega$  статистически независимы [16, 17]:

$$\langle E_\omega E_{\omega_1} \rangle = G(\omega) \delta(\omega - \omega_1). \quad (3)$$

Здесь  $G(\omega)$  — спектральная плотность светового поля, которая для квазимонохроматического сигнала может быть представлена в следующем виде [16]:

$$G(\omega) = I g(|\omega| - \omega_0), \quad (4)$$

где  $\omega_0$  — несущая частота,  $g(x)$  — четная неотрицательная функция колоколообразной формы с максимумом в точке  $x = 0$ , удовлетворяющая условию нормировки  $\int g(x) dx = 1$ . Полуширина  $\Delta\omega$  спектра  $G(\omega)$  удовлетворяет неравенству  $\Delta\omega \ll \omega_0$ . Величина  $I = \int G(\omega) d\omega / 2$  характеризует интенсивность светового поля (в гауссовой системе с точностью до множителя  $c\sqrt{\varepsilon}/2\pi$ , где  $c$  — скорость света,  $\sqrt{\varepsilon}$  — показатель преломления среды).

Используя (1), с учетом (2), (3) находим уравнение для диагональных элементов  $\rho_{kk}$  матрицы плотности  $\rho$  электронной подсистемы во втором порядке теории возмущений:

$$\frac{\partial \rho_{kk}}{\partial t} = \frac{2\pi}{\hbar^2} \sum_s |\mathbf{d}_{ks}|^2 G\left(\frac{\varepsilon_s - \varepsilon_k}{\hbar}\right) (\rho_{ss} - \rho_{kk}). \quad (5)$$

Здесь  $\mathbf{d}_{ks}$  — матричный элемент оператора дипольного момента,  $\varepsilon_s$  — спектр оператора  $H$ ,  $s = (s, j)$  — параметр, характеризующий одноэлектронное квантовое состояние с квазиволновым вектором  $\mathbf{s}$  и номером зоны  $j$ . В частном случае монохроматического светового поля

$$E(t) = E_0 \cos(\omega_0 t + \varphi)$$

с равномерно распределенной случайной фазой  $\varphi$  спектральная плотность

$$G(\omega) = \frac{E_0^2}{4} [\delta(\omega - \omega_0) + \delta(\omega + \omega_0)].$$

Тогда уравнение (5) переходит в хорошо известное золотое правило Ферми для вероятности вынужденных переходов [17].

Рассмотрим случай, когда разрешены только прямые переходы между валентной зоной ( $j = 1$ ) и зоной проводимости ( $j = 2$ ). Матричный элемент дипольного момента  $\mathbf{d}_{ks}$ , где  $k = (\mathbf{k}, 1)$ ,  $s = (\mathbf{s}, 2)$ , тогда принимает вид

$$|\mathbf{d}_{ks}| = d_{\mathbf{k}} \delta_{\mathbf{k}, \mathbf{s}}, \quad (6)$$

где  $\delta_{\mathbf{k}, \mathbf{s}}$  — символ Кронекера. Из уравнения (5) с учетом (6) получаем формулу, описывающую изменение населенности  $\mathbf{k}$ -го уровня зоны проводимости  $n_{\mathbf{k}} = \rho_{(\mathbf{k}, 2); (\mathbf{k}, 2)}$ , обусловленное вынужденными оптическими переходами:

$$\frac{\partial n_{\mathbf{k}}}{\partial t} = \frac{2\pi}{\hbar^2} d_{\mathbf{k}}^2 G(\omega_{\mathbf{k}}), \quad (7)$$

где  $\omega_k = (\varepsilon_{k,2} - \varepsilon_{k,1})/\hbar$  — спектр электронных возбуждений для прямых оптических межзонных переходов. При записи (7) предполагалось также, что оптические переходы на частоте  $\omega_k$  далеки от насыщения:

$$\rho_{(k,1);(k,1)} - \rho_{(k,2);(k,2)} = 1. \quad (8)$$

Подставляя (4) в (7), находим кинетическое уравнение для концентрации электронов  $n = \sum_k n_k$  в зоне проводимости:

$$\frac{\partial n}{\partial t} = \frac{2\pi I}{\hbar^2} \sum_k d_k^2 g (|\omega_k| - \omega_0) - \frac{n}{\tau}. \quad (9)$$

Второе слагаемое в правой части (9), введенное феноменологически, описывает межзонную релаксацию к равновесному значению  $n = 0$  с временем релаксации  $\tau$ .

Пренебрегая изменением дипольного момента  $d_k$  вблизи  $\omega_k = \omega_0$  ( $d_k \simeq d$ ), из (9) для стационарного режима ( $\partial n/\partial t = 0$ ) получаем

$$I = \frac{\hbar n}{2\pi\tau d^2 S(\omega_0, n)}, \quad (10)$$

где

$$S = S(\omega_0, n) = \int g (|\omega| - \omega_0) \nu(\omega, n) d\omega, \quad (11)$$

$\nu(\omega, n)$  — комбинированная плотность состояний, соответствующая спектру прямых электронных возбуждений  $\omega_k$  [18].

Уравнение (10) представляет собой обратную зависимость концентрации  $n$  электронов от интенсивности светового поля  $I$  в стационарном состоянии равновесия. Как показывает анализ соотношения (9), это состояние будет устойчивым, если в (10)  $\partial I/\partial n > 0$ . Уравнение для критических точек, где происходит потеря устойчивости, имеет вид  $\partial I/\partial n = 0$ . Отсюда с учетом (10) находим

$$S(\omega_0, n) - n \frac{\partial S(\omega_0, n)}{\partial n} = 0. \quad (12)$$

Таким образом, условием фотоиндуцированного фазового перехода в электронной системе является существование точек  $(\omega_0, n)$ , удовлетворяющих уравнению (12).

В точке бифуркации  $(\omega_b, n_b)$ , где прямой и обратный фазовые переходы являются переходами второго рода и происходят при одном и том же значении  $I$ , кроме (12) должно выполняться условие  $\partial^2 I/\partial n^2 = 0$ . Отсюда с учетом (10) получаем

$$\frac{\partial^2 S(\omega_0, n)}{\partial n^2} = 0. \quad (13)$$

Уравнения (10)–(13) являются основными соотношениями, описывающими поведение электронной системы с перестраиваемым спектром в световом поле.

### 3. СВЯЗЬ МЕЖДУ ИНТЕНСИВНОСТЬЮ ОБЛУЧЕНИЯ И КОНЦЕНТРАЦИЕЙ ЭЛЕКТРОНОВ В ЗОНЕ ПРОВОДИМОСТИ

Рассмотрим теперь модельную комбинированную плотность электронных состояний следующего вида

$$\nu(\omega, n) = \frac{\nu_0}{1 + e^x}, \quad (14)$$

где

$$x = x(\omega, n) = \alpha(\omega_1 - \beta n - \omega), \quad (15)$$

$x$  — безразмерная переменная, характеризующая отстройку частоты  $\omega_1 - \beta n$  нижнего края оптического перехода от частоты  $\omega$  спектральной компоненты светового поля;  $\omega_1$  — частота нижнего края оптического перехода в отсутствие электронных возбуждений (при  $n = 0$ );  $\nu_0$  — плотность состояний в глубине зоны;  $\alpha > 0$  — обратная полуширина размытия зоны вблизи нижнего края перехода;  $\beta > 0$  — коэффициент красного сдвига нижнего края перехода при увеличении концентрации  $n$  электронов в зоне проводимости. Выражения (14), (15) для  $\nu$  выбраны с учетом известных из эксперимента фактов: 1) зависимость коэффициента оптического поглощения от частоты для большинства аморфных и некоторых кристаллических (в частности, для CdS) материалов вблизи нижнего края перехода описывается правилом Урбаха и имеет экспоненциальный вид [19]; 2) в целом ряде полупроводников, как аморфных [20], так и кристаллических [11], в частности в CdS [9, 10], при увеличении концентрации  $n$  электронов в зоне проводимости имеет место красный сдвиг частоты нижнего края перехода, причем закон изменения этого сдвига в широком интервале изменения  $n$  близок к линейному (для CdS [9]  $n \simeq 10^{17} - 10^{19} \text{ см}^{-3}$ ).

Для вычисления интеграла (11) с комбинированной плотностью состояний  $\nu$  (14), (15) будем считать, что спектр падающего излучения  $G(\omega) = I g(|\omega| - \omega_0)$  имеет прямоугольную форму [16]:

$$g(y) = \begin{cases} 1/2\Delta\omega, & |y| \leq \Delta\omega, \\ 0, & |y| > \Delta\omega, \end{cases} \quad (16)$$

где  $\Delta\omega$  — полуширина спектра. Подставляя (14)–(16) в (11), получаем

$$S(\omega_0, n) = \nu_0 - \frac{\nu_0}{2\alpha\Delta\omega} \ln \frac{1 + \exp[x(\omega_0, n) + \alpha\Delta\omega]}{1 + \exp[x(\omega_0, n) - \alpha\Delta\omega]}. \quad (17)$$

Из уравнений (12), (13), (17) следует, что в точке бифуркации  $(\omega_0, n) = (\omega_b, n_b)$  параметры системы и светового поля удовлетворяют соотношениям

$$x = x(\omega_b, n_b) = 0, \quad \alpha(\omega_1 - \omega_b) = \alpha\Delta\omega \operatorname{cth}(\alpha\Delta\omega/2) \equiv x_{0b}. \quad (18)$$

В последнем выражении введено безразмерное обозначение  $x_{0b} = \alpha(\omega_1 - \omega_b)$ , соответствующее отстройке начальной (при  $n = 0$ ) частоты  $\omega_1$  нижнего края перехода от несущей частоты светового поля  $\omega_0 = \omega_b$  в точке бифуркации.

Вблизи точки бифуркации при  $|x| \leq 1$  выражение (10) с учетом (17) разложим в ряд Тейлора по  $x$ , ограничившись кубическими членами:

$$I = \frac{\hbar x_0 z(x)}{\pi d^2 \tau \alpha \beta \nu_0}, \quad (19)$$

$$z(x) = 1 + a_1x + a_2x^2 + a_3x^3, \quad x = \alpha(\omega_1 - \beta n - \omega_0), \quad (20)$$

$x_0 = \alpha(\omega_1 - \omega_0)$  — безразмерный параметр, характеризующий начальную отстройку частоты  $\omega_1$  нижнего края перехода от несущей частоты светового поля  $\omega_0$ ;  $a_1, a_2, a_3$  — коэффициенты разложения:

$$\begin{aligned} a_1 &= \frac{1}{x_{0b}} - \frac{1}{x_0}, & a_2 &= \frac{1}{x_{0b}} \left( \frac{1}{x_{0b}} - \frac{1}{x_0} \right), \\ a_3 &= \frac{1}{x_{0b}} \left[ \frac{1}{x_{0b}} \left( \frac{1}{x_{0b}} - \frac{1}{x_0} \right) - \frac{1}{12 \operatorname{ch}^2(\alpha \Delta \omega / 2)} \right]. \end{aligned} \quad (21)$$

Уравнения (19), (20) представляют собой обратную зависимость концентрации электронов  $n$  в зоне проводимости от интенсивности светового поля  $I$ .

#### 4. КРИТЕРИИ СУЩЕСТВОВАНИЯ ФОТОИНДУЦИРОВАННОГО ФАЗОВОГО ПЕРЕХОДА

Точки  $x_1$  и  $x_2$ , соответствующие потере устойчивости системы, определяются из уравнения  $\partial z / \partial x = 0$ . Отсюда с учетом (20) получаем

$$x_{1,2} = -\frac{a_2 \pm \sqrt{a_2^2 - 3a_1a_3}}{3a_3}. \quad (22)$$

Как видно из (22), критическое поведение системы наблюдается, если  $a_2^2 - 3a_1a_3 > 0$ . Отсюда, используя (21), находим необходимое условие фазового перехода, накладывающее ограничение на начальную отстройку несущей частоты светового поля от частоты нижнего края перехода:  $x_{0b} \leq x_0$ , или в исходных обозначениях

$$\Delta \omega \operatorname{cth} \frac{\alpha \Delta \omega}{2} \leq \omega_1 - \omega_0. \quad (23)$$

Из (23) видно, что с увеличением полуширины  $\Delta \omega$  спектра падающего излучения нижняя граница допустимых начальных отстроек  $\omega_1 - \omega_0$  увеличивается.

Условие (23) существования фазового перехода накладывает ограничение на частоту светового поля  $\omega_0$  сверху. Получим теперь соотношение, ограничивающее эту частоту снизу. С физической точки зрения такое ограничение обусловлено насыщением оптического перехода, если частота светового поля достаточно мала.

Условие отсутствия насыщения перехода на всех частотах падающего излучения (при температуре  $T = 0$ ) имеет вид

$$\hbar \int_{-\infty}^{\omega_0 - \Delta \omega} \nu(\omega, n) d\omega > n. \quad (24)$$

Подставляя в (24) соотношения (14), (15), находим

$$\omega_1 - \omega_0 < \beta n - \Delta \omega - \ln [\exp(\alpha n / \hbar \nu_0) - 1]. \quad (25)$$

Неравенство (25) должно выполняться для любого  $n$  вплоть до точки фазового перехода. Отсюда, анализируя (25), с учетом (23) окончательно получаем

$$\alpha\Delta\omega \operatorname{cth} \frac{\alpha\Delta\omega}{2} \leq \alpha(\omega_1 - \omega_0) < \beta\hbar\nu_0 \ln(\beta\hbar\nu_0) - (\beta\hbar\nu_0 - 1) \ln(\beta\hbar\nu_0 - 1) - \alpha\Delta\omega, \quad (26)$$

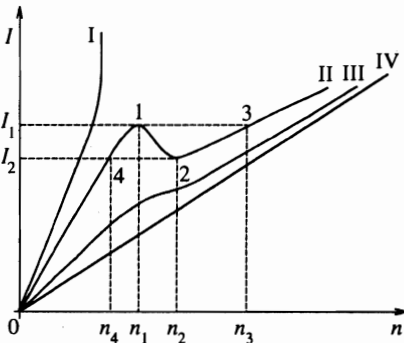
$$\alpha\Delta\omega \left( 1 + \operatorname{cth} \frac{\alpha\Delta\omega}{2} \right) < \beta\hbar\nu_0 \ln(\beta\hbar\nu_0) - (\beta\hbar\nu_0 - 1) \ln(\beta\hbar\nu_0 - 1). \quad (27)$$

Можно показать, что при выполнении (26), (27) насыщение отсутствует при любом  $n$ .

Критерий существования фазового перехода (27), накладывающий ограничение на параметры системы, является следствием критерия (26) для частоты светового поля. Чем с большим запасом выполняется (27), тем больший полуинтервал частот излучения может быть использован для наблюдения фотоиндуцированного фазового перехода и безрезонантной оптической бистабильности.

## 5. ОСНОВНЫЕ ХАРАКТЕРИСТИКИ ФОТОИНДУЦИРОВАННОГО ФАЗОВОГО ПЕРЕХОДА И БЕЗРЕЗОНАНТНОЙ ОПТИЧЕСКОЙ БИСТАБИЛЬНОСТИ

При выполнении критерия (27), как показывает анализ соотношений (10), (17), (19), (20), схематические графики зависимости  $I(n)$  имеют вид, изображенный на рисунке. Кривая I иллюстрирует насыщение межзонных оптических переходов, когда несущая частота светового поля  $\omega_0 = \omega_1$  меньше нижней границы области допустимых для наблюдения безрезонантной оптической бистабильности значений, определяемых условием (26). При частотах  $\omega_0 = \omega_{III}, \omega_{IV}$ , превышающих верхнюю границу разрешенных критерием (26) значений, оптическая бистабильность также отсутствует (кривые III, IV). Кривая IV соответствует оптическим переходам в глубину зоны:  $\omega_{IV} - \Delta\omega - \omega_1 \gg 1/\alpha$ . При частотах  $\omega_0 = \omega_{II}$ , удовлетворяющих неравенству (26), зависимость  $I(n)$  может иметь отрицательный наклон (кривая II). При увеличении интенсивности точка на графике движется по кривой  $0 \rightarrow 4 \rightarrow 1 \rightarrow 3$ , при уменьшении — по кривой  $3 \rightarrow 2 \rightarrow 4 \rightarrow 0$ . Скачкообразное изменение  $n$  на участках  $1 \rightarrow 3$  и  $2 \rightarrow 4$  соответствует прямому и обратному фазовым переходам. Участок  $I_2 < I < I_1$  является областью бистабильности.



Обратная зависимость концентрации  $n$  неравновесных электронов в зоне проводимости от интенсивности  $I$  светового поля с несущей частотой  $\omega_0 = \omega_j$  ( $j = I - IV$ ,  $\omega_1 < \omega_{II} < \omega_{III} < \omega_{IV}$ ). Частота  $\omega_0 = \omega_{II}$  удовлетворяет критерию (26)

Анализируя уравнение (20), находим точки  $x_3$  и  $x_4$ , отвечающие новым положениям равновесия соответственно для прямого и обратного фазовых переходов:

$$x_{3,4} = -\frac{a_2 \mp 2\sqrt{a_2^2 - 3a_1a_3}}{3a_3}, \quad (28)$$

а также безразмерную величину  $\Delta x$  скачка концентрации электронов в зоне проводимости  $\Delta n = \Delta x/\alpha\beta$ :

$$\Delta x = -\frac{\sqrt{a_2^2 - 3a_1a_3}}{a_3}. \quad (29)$$

При этом оказывается, что скачок  $\Delta x$  при прямом и обратном фазовых переходах одинаков.

Используя (20), так же получаем выражение для ширины петли гистерезиса (размер области безрезонаторной оптической бистабильности по безразмерной интенсивности светового поля):

$$\Delta z = z(x_1) - z(x_2) = \frac{8(a_2^2 - 3a_1a_3)^{3/2}}{27a_3^2}. \quad (30)$$

Следует отметить, что полученные выражения (22), (28)–(30) в соответствии с приближенностью исходных соотношений (19), (20) справедливы при  $|x| \leq 1$ . Это условие накладывает дополнительные ограничения на величину  $x_0$  сверху. В частности, для того чтобы  $|x_1| \leq 1$ , необходимо, как видно из (22), (21), выполнение следующего неравенства:

$$x_0 \leq \frac{x_{0b}}{1 - 3x_{0b}^2/12(x_{0b}^2 + 2x_{0b} + 3) \operatorname{ch}^2(\alpha\Delta\omega/2)}. \quad (31)$$

Нетрудно видеть, что (26), (31) допускают совместное решение вблизи точки бифуркации:  $x_0 \geq x_{0b}$ . Аналогичная ситуация сохраняется и для других точек  $x_2, x_3, x_4$  (22), (28), а также выражений (29), (30). Таким образом, используемое приближение позволяет описать фотоиндуцированный фазовый переход и безрезонаторную оптическую бистабильность вблизи точки бифуркации  $x_0 = x_{0b}$ ,  $x = 0$ .

## 6. СРАВНЕНИЕ С ЭКСПЕРИМЕНТОМ

Известно, что фотоиндуцированный фазовый переход в CdS и аморфном GeS<sub>2</sub> протекает за характерные времена  $\tau_0$  приблизительно равные соответственно  $10^{-10}$  с [8] и 1 с [13]. Таким образом, данное явление не может быть объяснено с точки зрения тепловой модели, в которой время переключения  $\tau_0 \sim 10^{-5}$  с [8, 13, 21]. Дополнительным подтверждением этого вывода служит малое изменение температуры  $\Delta T = 0-15$  К, отмеченное в эксперименте по облучению CdS [8]. В GeS<sub>2</sub> изменение температуры  $\Delta T$  в эксперименте [13] не регистрировалось. Известно лишь, что интенсивность облучения GeS<sub>2</sub>, необходимая для наблюдения безрезонаторной оптической бистабильности, на четыре порядка меньше, чем в CdS [1, 8, 13].

Проведем интерпретацию наблюдаемых в CdS и аморфном GeS<sub>2</sub> явлений фазового перехода и безрезонаторной оптической бистабильности в монохроматическом световом

поле на основе развитой в настоящей работе теории электронного типа. Рассмотрим вначале CdS. Для него положим  $d^2 \approx 10^{-39}$  ед. СГС [9],  $\tau \approx 10^{-9}$  с [9],  $\beta \approx 10^{-5}$  см<sup>3</sup>/с [9],  $\alpha \approx 10^{-12}$  с [10],  $\nu_0 \approx 0.5$  эВ<sup>-1</sup>·атом<sup>-1</sup>  $\sim 10^{23}$  эВ<sup>-1</sup>·см<sup>-3</sup> [10]. Тогда получаем, что  $\hbar\beta\nu_0 \approx 10^2$ , и, следовательно, критерий (27) заведомо выполняется (для монохроматического светового поля неравенство (27) переходит в (36)). Используя (19), (20), оценим  $I$  в точке бифуркации (где в соответствии с (18)  $x = 0$ ,  $x_0 = 2$ ):  $I \sim 10^4$  ед. СГС, что соответствует интенсивности светового поля  $cI/2\pi \sim 10^{13}$  ед. СГС  $\sim 10^6$  Вт/см<sup>2</sup>. Данный результат согласуется с экспериментальным значением интенсивности  $\sim 10^6$  Вт/см<sup>2</sup> [1].

Рассмотрим теперь аморфный GeS<sub>2</sub>. Рассчитаем коэффициент оптического поглощения  $\gamma$  и скачок интенсивности выходного сигнала при фазовом переходе в случае, когда падающее световое поле является монохроматическим. Учтем, что плотность потока фотонов  $F$  в стационарном режиме при распространении вдоль направления  $y$  подчиняется следующему уравнению [17]:

$$\frac{dF}{dy} = - \left( \frac{\partial n}{\partial t} \right)_i = - \frac{\pi E_0^2 d^2}{2\hbar} \nu(\omega_0, n). \quad (32)$$

Здесь  $(\partial n/\partial t)_i$  — изменение концентрации электронов в зоне проводимости, обусловленное вынужденными переходами в монохроматическом поле  $E(t) = E_0 \cos(\omega_0 t + \varphi)$ . Последнее равенство в (32) записано в соответствии с формулой (9), где вынужденным переходам отвечает первое слагаемое в правой части уравнения. Поскольку интенсивность  $\hbar\omega_0 F = c\sqrt{\varepsilon} E_0^2/8\pi$  [17], из (32) находим

$$\frac{dF}{dy} = -\gamma F, \quad \gamma = \frac{4\pi^2 d^2 \omega_0}{c\sqrt{\varepsilon}} \nu(\omega_0, n), \quad (33)$$

где  $\sqrt{\varepsilon}$  — показатель преломления на частоте  $\omega_0$ . Используя (33), (14), (15), (29), (21), получаем формулу для отношения выходных интенсивностей  $(I_1/I_3)_{out}$  до и после фазового перехода (см. рисунок):

$$\left( \frac{I_1}{I_3} \right)_{out} = \exp \left[ \frac{3\pi^2 d^2 \omega_0 \nu_0 L \sqrt{(x_0 - 2)(4 - x_0)}}{c\sqrt{\varepsilon}(3 - x_0)} \right], \quad (34)$$

где  $L$  — толщина образца вдоль направления распространения излучения.

Формула для относительной ширины петли гистерезиса  $\Delta I/I_b$ , где  $\Delta I = I_1 - I_2$ ,  $I_b \approx (I_1 + I_2)/2$  — входная интенсивность в точке бифуркации (вблизи точки бифуркации  $I_1 \approx I_2 \approx I_b$ ), в соответствии с (30), (20) имеет вид

$$\frac{\Delta I}{I_b} \simeq \Delta z = \frac{2[(x_0 - 2)(4 - x_0)]^{3/2}}{3x_0(3 - x_0)}. \quad (35)$$

Проведем численные оценки для аморфного GeS<sub>2</sub>. Известно, что в аморфных материалах область размытия нижнего края оптического перехода составляет  $\Delta E = 0.1 - 0.3$  эВ [19], причем в GeS<sub>2</sub> эта величина близка к верхней границе [20]. Поэтому положим  $\Delta E = 2\hbar/\alpha \simeq 0.25$  эВ. Учитывая, что при монохроматическом облучении  $x_{0b} = \alpha(\omega_1 - \omega_b) = 2$  (18), получаем отстройку частоты  $\omega_1$  нижнего края перехода от частоты светового поля в точке бифуркации  $\omega_b$ :  $\hbar(\omega_1 - \omega_b) = 0.25$  эВ. Таким образом, в соответствии с критерием (23) фотоиндуцированный фазовый переход должен

наблюдаться при отстройках, больших 0.25 эВ. Это действительно имело место в эксперименте [13], где безрезонаторная оптическая бистабильность была зарегистрирована при отстройке 0.29 эВ, но отсутствовала при 0.16 эВ.

Для отстройки  $\hbar(\omega_1 - \omega_0) = 0.29$  эВ, при которой проводился эксперимент [13], с учетом  $\hbar(\omega_1 - \omega_0) = 0.25$  эВ,  $\alpha(\omega_1 - \omega_b) = 2$  находим  $x_0 = \alpha(\omega_1 - \omega_0) \simeq 2.3$ . Отсюда, используя (35), получаем  $\Delta I/I_b \approx 0.22$ , что близко к экспериментальному значению  $(\Delta I/I_b)_{exp} \approx 0.2$  [13]. Положив  $d^2 \approx 10^{39}$  ед. СГС [9],  $\omega_0 \approx 10^{15}$  с<sup>-1</sup> [13],  $\nu_0 \approx 0.5$  эВ<sup>-1</sup>·атом<sup>-1</sup>  $\sim 10^{23}$  эВ<sup>-1</sup>·см<sup>-3</sup> [19],  $L \approx 0.5$  см [13],  $\sqrt{\epsilon} \approx 1$ , из (33), (34) находим  $\gamma_1 \approx 10$  см<sup>-1</sup>,  $\ln(I_1/I_3)_{out} \approx 2$ . Полученные теоретические значения также соответствуют эксперименту [13], в котором зарегистрировано  $\gamma_1 \approx 10$  см<sup>-1</sup>,  $\ln(I_1/I_3)_{out} \approx 2.1$ .

Численное значение коэффициента  $\beta$  для аморфного GeS<sub>2</sub> автору не известно. Однако в [20] отмечается, что красный сдвиг частоты нижнего края оптического перехода является общим свойством целого ряда аморфных веществ, а в As<sub>2</sub>S<sub>3</sub> путем облучения удается достичь сдвига нижнего края перехода на величину 0.2 эВ. В CdS аналогичное значение при максимальной интенсивности облучения ( $I \approx 10^7$  Вт/см<sup>2</sup>,  $n \approx 10^{19}$  см<sup>-3</sup>) составляет 0.05 эВ [9]. Следовательно, характерное значение коэффициента  $\beta$  для ряда аморфных материалов близко или даже больше, чем  $\beta \approx 10^{-5}$  см<sup>3</sup>/с для CdS. Отметим, что такое же значение  $\hbar\beta \approx 5 \cdot 10^{-21}$  эВ·см<sup>3</sup> используется в [22] в качестве характерного коэффициента красного сдвига ширины запрещенной зоны для полупроводниковых материалов. В этом случае критерий (27) выполняется с большим запасом, как и для CdS.

Характерное значение  $I_1$  в точке фазового перехода оценим, используя (19), (20). Учтем, что в условиях эксперимента  $\Delta I/I_b \approx 0.2$  и, следовательно,  $I_1 \approx I_b$ . Тогда, положив  $x_0 = 2$ ,  $x = 0$ ,  $d^2 \approx 10^{-39}$  ед. СГС [9],  $\Delta E = 2\hbar/\alpha \approx 0.25$  эВ [19, 20],  $\beta \approx 10^{-5}$  см<sup>3</sup>/с [9, 22],  $\nu_0 \approx 0.5$  эВ<sup>-1</sup>·атом<sup>-1</sup>  $\sim 10^{23}$  эВ<sup>-1</sup>·см<sup>-3</sup> [19],  $\tau \sim 10^{-3}$  с [20], из (19), (20) получаем  $cI/2\pi \sim 10^2$  Вт/см<sup>2</sup>, что соответствует экспериментальному значению интенсивности 60 Вт/см<sup>2</sup> [13].

## 7. ЗАКЛЮЧЕНИЕ

Итак, в настоящей работе построена теория фотоиндуцированного фазового перехода и безрезонаторной оптической бистабильности электронного типа, удовлетворительно описывающая ряд экспериментальных данных в CdS и аморфном GeS<sub>2</sub>. Необходимым условием наблюдения оптической бистабильности является критерий (27), ограничивающий полуширину  $\Delta\omega$  спектра падающего излучения сверху и значение параметра материала  $\beta\nu_0$  снизу. В частности, при  $\Delta\omega = 0$  неравенство (27) приближенно записывается в виде

$$\hbar\beta\nu_0 > 3.2. \quad (36)$$

При увеличении  $\Delta\omega$ , как видно из (27), нижняя граница допустимых значений  $\beta\nu_0$  растёт.

Вторым необходимым условием наблюдения оптической бистабильности является критерий (26), ограничивающий несущую частоту светового поля  $\omega_0$  сверху и снизу. При увеличении  $\Delta\omega$  нижняя граница допустимых значений  $\omega_0$  растёт, а верхняя уменьшается. Таким образом, уширение оптического спектра падающего излучения снижает

возможность наблюдения фотоиндуцированного фазового перехода и безрезонаторной оптической бистабильности в системе.

Обратная зависимость концентрации электронов в зоне проводимости от интенсивности падающего светового поля описывается формулами (19)–(21), характерные точки фазового перехода  $x_j$ , где  $j = 1-4$  (см. рисунок), — соотношениями (22), (28), (21), а параметры оптической бистабильности — уравнениями (29), (30), (21). Как показывает анализ, когда частота  $\omega_0$  приближается к точке бифуркации, соответствующей нижней границе допустимых значений соотношения (26), интенсивности  $I_1$ ,  $I_2$  и параметры  $\Delta x$ ,  $\Delta z$  уменьшаются. В пределе  $\omega_0 = \omega_b$  фотоиндуцированный фазовый переход становится переходом второго рода.

## Литература

1. Х. Гиббс, *Оптическая бистабильность. Управление светом с помощью света*, Мир, Москва (1988), с. 108.
2. В. И. Емельянов, Н. Л. Левшин, А. Л. Семенов, *Вестн. Моск. Ун-та, Сер. 3, физика, астрономия* **30**, 52 (1989).
3. В. И. Емельянов, А. Л. Семенов, *ФТТ* **32**, 3083 (1990).
4. В. И. Емельянов, Н. Л. Левшин, А. Л. Семенов, *ФТТ* **31**, 261 (1989).
5. В. И. Емельянов, Н. Л. Левшин, А. Л. Семенов, *Вестн. Моск. Ун-та, Сер. 3, физика, астрономия* **31**, 99 (1990).
6. А. Л. Семенов, *ФТТ* **36**, 1974 (1994).
7. В. И. Емельянов, Н. Л. Левшин, С. Ю. Поройков, А. Л. Семенов, *Вестн. Моск. Ун-та, Сер. 3, физика, астрономия* **32**, 63 (1991).
8. П. И. Хаджи, Г. Д. Шибаршина, А. Х. Ротару, *Оптическая бистабильность в системе когерентных экситонов и биэкситонов в полупроводниках*, Штиинца, Кишинев (1988), с. 120.
9. В. Г. Лысенко, В. И. Ревенко, Т. Г. Тратас, В. Б. Тимофеев, *ЖЭТФ* **68**, 335 (1975).
10. В. В. Коршунов, М. В. Лебедев, В. Г. Лысенко, *ФТТ* **27**, 1518 (1985).
11. А. А. Бугаев, Б. П. Захарченя, Ф. А. Чудновский, *Фазовый переход металл-полупроводник и его применение*, Наука, Ленинград (1979), с. 28.
12. А. А. Бугаев, В. В. Гудялис, Б. П. Захарченя и др., *Письма в ЖЭТФ* **34**, 452 (1981).
13. В. М. Любин, В. К. Тихомиров, *Письма в ЖЭТФ* **55**, 25 (1992).
14. А. В. Андреев, В. И. Емельянов, Ю. А. Ильинский, *Кооперативные явления в оптике: Сверхизлучение. Бистабильность. Фазовые переходы*, Наука, Москва (1988), с. 256.
15. А. С. Давыдов, *Теория твердого тела*, Наука, Москва (1976), с. 296.
16. С. А. Ахманов, Ю. Е. Дьяков, А. С. Чиркин, *Введение в статистическую радиофизику и оптику*, Наука, Москва (1981), с. 42.
17. Д. Н. Клышко, *Физические основы квантовой электроники*, Наука, Москва (1986), с. 22.
18. В. Л. Бонч-Бруевич, С. Г. Калашников, *Физика полупроводников*, Наука, Москва (1990), с. 608.
19. Н. Мотт, Э. Дэвис, *Электронные процессы в некристаллических веществах*, Мир, Москва (1982), с. 314, (N. F. Mott, E. A. Davis, *Electron processes in non-crystalline materials*, Clarendon Press, Oxford (1979)).
20. А. Фельц, *Аморфные и стеклообразные неорганические твердые тела*, Мир, Москва (1986), с. 518.
21. В. А. Стадник, *ФТТ* **29**, 3594 (1987).
22. В. И. Емельянов, И. Ф. Уварова, *ЖЭТФ* **94**, 255 (1988).